

**МАТЕМАТИЧЕСКОЕ И ЧИСЛЕННОЕ МОДЕЛИРОВАНИЕ ТЕЧЕНИЙ  
ВЯЗКОГО ТЕПЛОПРОВОДНОГО ГАЗА\***

*Предлагается алгоритм численного решения модифицированных уравнений Навье–Стокса для одномерного движения вязкого теплопроводного газа. Проведены тестовые расчеты. Реализована задача о распространении теплового импульса в газе. Апробированная компьютерная модель используется для изучения одномерных геодинамических процессов.*

*Ключевые слова:* уравнения Навье–Стокса, вязкий теплопроводный газ, численное моделирование, метод траекторий, метод конечных элементов.

Система нестационарных одномерных уравнений Навье–Стокса для вязкого теплопроводного газа включает три дифференциальных уравнения в частных производных, вытекающих из законов сохранения массы, количества движения и внутренней энергии газа. Предложенная в работе замена искомым функций в уравнениях неразрывности и внутренней энергии переводит закон сохранения массы и полной энергии из нормы пространства  $L_1$  в норму гильбертова пространства  $L_2$ . Впоследствии это значительно упрощает обоснование устойчивости и сходимости [1]. Дискретизация по пространству модифицированных уравнений Навье–Стокса осуществляется методом конечных элементов.

Для аппроксимации полной производной по времени каждого уравнения системы используется метод траекторий, который заключается в аппроксимации субстанциональной производной с помощью разностной производной назад по времени вдоль траектории движения частицы. Метод траекторий впервые появился в работах французских и американских ученых для аппроксимации уравнений Навье–Стокса для вязкой несжимаемой жидкости с первым порядком аппроксимации. Наибольшее теоретическое и практическое развитие метод получил для одного уравнения переноса массы [2]. Для решения систем алгебраических уравнений используется многосеточный метод с внешними итерациями по нелинейности.

Модификация уравнений Навье–Стокса обеспечивает повышение точности приближенного решения. Как следует из тестовых расчетов, абсолютная погрешность приближенного решения уменьшается в разы по сравнению с аналогичной погрешностью для немодифицированных уравнений, при этом разностная схема остается первого порядка. Применение комбинации метода траекторий и метода конечных элементов позволяет построить экономичный алгоритм с вычислительной точки зрения.

**Математическая модель.** Выпишем дифференциальные уравнения одномерного вязкого теплопроводного газа в виде безразмерных уравнений неразрывности, количества движения и уравнения для внутренней энергии:

$$\frac{d\rho}{dt} + \rho \frac{\partial u}{\partial x} = 0, \tag{1}$$

$$\rho \frac{du}{dt} = -\frac{\partial P}{\partial x} + \frac{\partial \tau_{xx}}{\partial x}, \tag{2}$$

$$\rho \frac{de}{dt} + P \frac{\partial u}{\partial x} = Q_t - \frac{\partial q_x}{\partial x} + \Phi, \tag{3}$$

$$P = P(\rho, e), \quad \mu = \mu(\rho, e), \tag{4}$$

где  $\rho$  – плотность;  $u$  – проекция вектора скорости на ось  $x$ ;  $P$  – давление;  $\mu$  – динамический коэффициент вязкости;  $e$  – внутренняя энергия;  $Q$  – внешний поток тепла от внешних источников; тензор напряжений  $\tau_{xx}$ , проекция теплового потока  $q_x$  и диссипативная функция  $\Phi$  выражаются следующим образом:

$$\tau_{xx} = \frac{4}{3} \frac{1}{\text{Re}} \mu \frac{\partial u}{\partial x}, \quad q_x = -\frac{\gamma}{\text{Pr Re}} \mu \frac{\partial e}{\partial x}, \tag{5}$$

$$\Phi = \frac{4}{3} \frac{1}{\text{Re}} \mu \left( \frac{\partial u}{\partial x} \right)^2,$$

где  $\text{Re}$  – число Рейнольдса,  $\text{Pr}$  – число Прандтля,  $\gamma = 1, 4$ .

**Редукция уравнений.** Преобразуем уравнения (1) и (3) к новому виду. Для этого, учитывая неотрицательность плотности и внутренней энергии, введем следующие функции:

$$\rho = \sigma^2, \tag{6}$$

$$e = \varepsilon^2. \tag{7}$$

Подставим (6) в уравнение неразрывности (1) и получим

$$\frac{d(\sigma^2)}{dt} + \sigma^2 \frac{\partial u}{\partial x} = 0. \tag{8}$$

Дифференцируя по  $t$ , имеем

$$2\sigma \frac{d\sigma}{dt} + \sigma^2 \frac{\partial u}{\partial x} = 0.$$

Далее, сокращая последнее уравнение на  $2\sigma$ , получим

$$\frac{d\sigma}{dt} + \frac{1}{2} \sigma \frac{\partial u}{\partial x} = 0. \tag{9}$$

\* Работа выполнена при финансовой поддержке РФФИ (грант № 11-01-00224), проект № 89 СО РАН.

Прделаем аналогичную процедуру для уравнения внутренней энергии (3), т. е. преобразуем уравнение (3) к новому виду с учетом (7). Для этого подставим выражение (7) в (3), в результате получим

$$\rho \frac{d(\varepsilon^2)}{dt} + \frac{\partial q_x}{\partial x} = \frac{\partial Q}{\partial t} - P \frac{\partial u}{\partial x} + \Phi. \quad (10)$$

Преобразуем (10) следующим образом:

$$\rho 2\varepsilon \frac{d\varepsilon}{dt} + \frac{\partial q_x}{\partial x} = \frac{\partial Q}{\partial t} - P \frac{\partial u}{\partial x} + \Phi. \quad (11)$$

Далее сократим последнее уравнение на  $2\varepsilon$  и получим

$$\rho \frac{d\varepsilon}{dt} + \frac{1}{2\varepsilon} \frac{\partial q_x}{\partial x} = \frac{1}{2\varepsilon} \frac{\partial Q}{\partial t} - \frac{P}{2\varepsilon} \frac{\partial u}{\partial x} + \frac{1}{2\varepsilon} \Phi. \quad (12)$$

Подставим (7) в выражение для теплового потока  $q_x$  из (5) и возьмем производную по  $x$ , получим

$$q_x = -\frac{2\gamma}{\text{PrRe}} \mu \varepsilon \frac{\partial \varepsilon}{\partial x},$$

$$\frac{\partial q_x}{\partial x} = -\frac{2\gamma}{\text{PrRe}} \left( \mu \left( \frac{\partial \varepsilon}{\partial x} \right)^2 + \varepsilon \frac{\partial}{\partial x} \left( \mu \frac{\partial \varepsilon}{\partial x} \right) \right). \quad (13)$$

С учетом (13) и выражения для диссипативной функции  $\Phi$  из (5) уравнение (12) примет вид

$$\rho \frac{d\varepsilon}{dt} - \frac{\gamma}{\text{PrRe}} \left[ \frac{\mu}{\varepsilon} \left( \frac{\partial \varepsilon}{\partial x} \right)^2 + \frac{\partial}{\partial x} \left( \mu \frac{\partial \varepsilon}{\partial x} \right) \right] =$$

$$= \frac{1}{2\varepsilon} Q_t - \frac{P}{2\varepsilon} \frac{\partial u}{\partial x} + \frac{2}{3\text{Re}} \frac{\mu}{\varepsilon} \left( \frac{\partial u}{\partial x} \right)^2. \quad (14)$$

*Замечание.* Обратим внимание на появившиеся множители  $\mu/\varepsilon$  и  $P/\varepsilon$  в уравнении (14), которые, как показывают расчеты, являются естественными «регуляризаторами». Например, для совершенного газа уравнение состояния (4) запишется как

$$P = \rho(\gamma - 1)\varepsilon \quad \text{или} \quad P = \sigma^2(\gamma - 1)\varepsilon^2. \quad (15)$$

Поскольку внутренняя энергия всегда положительна и больше единицы по отношению к ее величине на бесконечности, то множитель  $1/\varepsilon$  «гасит» растущее как  $\varepsilon^2$  давление. Аналогичны рассуждения относительно  $\mu/\varepsilon$ . Для совершенного газа, как следует из формулы Сазерленда, динамический коэффициент вязкости является степенной функцией от внутренней энергии.

Будем решать систему уравнений, преобразованную к следующему виду:

$$\frac{d\sigma}{dt} + \frac{1}{2}\sigma \frac{\partial u}{\partial x} = 0, \quad (16)$$

$$\rho \frac{du}{dt} = -\frac{\partial P}{\partial x} + \frac{\partial \tau_{xx}}{\partial x}, \quad (17)$$

$$\rho \frac{d\varepsilon}{dt} - \frac{\gamma}{\text{PrRe}} \left[ \frac{\mu}{\varepsilon} \left( \frac{\partial \varepsilon}{\partial x} \right)^2 + \frac{\partial}{\partial x} \left( \mu \frac{\partial \varepsilon}{\partial x} \right) \right] =$$

$$= \frac{1}{2\varepsilon} Q_t - \frac{P}{2\varepsilon} \frac{\partial u}{\partial x} + \frac{2}{3\text{Re}} \frac{\mu}{\varepsilon} \left( \frac{\partial u}{\partial x} \right)^2. \quad (18)$$

Замыкают систему уравнений (16)–(18) алгебраические соотношения для давления и динамического коэффициента вязкости совершенного газа

$$P = P(\sigma, \varepsilon), \quad \mu = \mu(\sigma, \varepsilon). \quad (19)$$

**Дискретизация.** В качестве расчетной области возьмем единичный отрезок  $\bar{\Omega} = [0, 1]$  с границей  $\Gamma$ , состоящей из концов отрезка. Введем равномерную сетку  $x_i = ih$ ,  $i = 0, 1, \dots, n$  с шагом  $h = 1/n$  ( $n \geq 2$ ).

Обозначим множество узлов области  $\bar{\Omega}$ :

$$\bar{\Omega}_h = \{S_i = (x_i), \quad i = 0, 1, \dots, n\},$$

введем множество внутренних узлов

$$\Omega_h = \{S_i = (x_i), \quad i = 1, \dots, n-1\}$$

и два граничных узла

$$\Gamma_h = \{S_i = (x_i), \quad i = 0, n\}.$$

В результате расчетная область  $\bar{\Omega}$  разбилась на  $n$  интервалов.

Для каждого узла  $S_i \in \bar{\Omega}_h$  введем базисную функцию  $\varphi_i(x)$ :

$$\varphi_i(x) = \begin{cases} (1 - |x_i - x|), & x \in [x_{i-1}, x_{i+1}], \\ 0, & x \in (x_{i-1}, x_{i+1}), \end{cases} \quad (20)$$

которая равна единице в  $S_i$  и равна нулю во всех остальных узлах  $\bar{\Omega}$ .

Будем искать приближенное решение в виде

$$\sigma^h(t, x) = \sum_{i=0}^n \sigma_i(t) \varphi_i(x), \quad (21)$$

$$u^h(t, x) = \sum_{i=0}^n u_i(t) \varphi_i(x), \quad (22)$$

$$\varepsilon^h(t, x) = \sum_{i=0}^n \varepsilon_i(t) \varphi_i(x). \quad (23)$$

После дискретизации по пространству уравнения (16) получаем дискретный аналог уравнения неразрывности:

$$\frac{d\sigma_l}{dt} + \frac{1}{4h} \sigma_l (u_{l+1} - u_{l-1}) = 0, \quad (24)$$

$$l = 1, \dots, n-1.$$

Дискретный аналог уравнения количества движения (17) принимает следующий вид:

$$\rho_l \frac{du_l}{dt} + \frac{2}{3h^2} \frac{1}{\text{Re}} ((u_l - u_{l-1})(\mu_{l-1} + \mu_l) -$$

$$- (u_{l+1} - u_l)(\mu_l + \mu_{l+1})) =$$

$$= \frac{1}{2h} (P_{l-1} - P_{l+1}), \quad l = 1, \dots, n-1. \quad (25)$$

По аналогии с предыдущим уравнением выпишем дискретный аналог уравнения энергии (18) в следующем виде:

$$\begin{aligned} & \rho_l \frac{d\varepsilon_l}{dt} - \frac{1}{2h^2} \frac{\gamma}{\text{PrRe}} \frac{\mu_l}{\varepsilon_l} ((\varepsilon_{l+1} - \varepsilon_l)^2 + (\varepsilon_l - \varepsilon_{l-1})^2) + \\ & + \frac{1}{2h^2} \frac{\gamma}{\text{PrRe}} ((\varepsilon_l - \varepsilon_{l-1})(\mu_{l-1} + \mu_l) - (\varepsilon_{l+1} - \varepsilon_l)(\mu_l + \mu_{l+1})) = \\ & - \frac{1}{4h} \frac{P_l}{\varepsilon_l} (u_{l+1} - u_{l-1}) + \frac{1}{3h^2} \frac{1}{\text{Re}} \frac{\mu_l}{\varepsilon_l} ((u_{l+1} - u_l)^2 + (u_l - u_{l-1})^2), \\ & l = 1, \dots, n-1. \end{aligned} \quad (26)$$

**Метод траекторий.** Введем равномерную сетку по времени с шагом  $\tau = t_{\text{fin}} / m$ :

$$\bar{\omega}_\tau = \{t_k : t_k = k\tau, \quad k = 0, \dots, m\}.$$

Производную по времени (субстанциональная) в уравнении (24) аппроксимируем с помощью разностной производной назад по времени вдоль траектории движения частицы следующим образом [2]:

$$\frac{d\sigma_l}{dt} \approx \frac{\sigma^{k+1}(x_l) - \sigma^k(X_l^k)}{\tau}, \quad (27)$$

где  $X_l^k$  – решение при  $t^* = k\tau$  уравнения

$$\frac{dX}{dt^*} = u(t^*, X), \quad X((k+1)\tau) = x_l. \quad (28)$$

Для численного решения уравнения (28) применим метод Эйлера, вычисление производится с  $(k+1)$ -го шага назад по времени. Полагая, что частица в промежутке времени  $(t_k, t_{k+1})$  движется равномерно, получаем

$$X_l^k = x_l - u(t^*, x_l)\tau. \quad (29)$$

Обозначим  $u(t^*, x_l) = u_l^k$ . Значение  $\sigma^k(X_l^k)$  определяется путем линейной интерполяции.

При  $u_l^k > 0$

$$\sigma^k(X_l^k) = \sigma^k(x_l) + (X_l^k - x_l) \frac{\sigma^k(x_l) - \sigma^k(x_{l-1})}{x_l - x_{l-1}}. \quad (30)$$

При  $u_l^k < 0$

$$\sigma^k(X_l^k) = \sigma^k(x_l) + (X_l^k - x_l) \frac{\sigma^k(x_{l+1}) - \sigma^k(x_l)}{x_{l+1} - x_l}. \quad (31)$$

Производную по времени в уравнениях (25) и (26) аппроксимируем аналогично разностной производной (27), в результате получим

$$\rho_l \frac{du_l}{dt} \approx \rho_l^{k+1} \frac{u^{k+1}(x_l) - u^k(X_l^k)}{\tau}, \quad (32)$$

$$\rho_l \frac{d\varepsilon_l}{dt} \approx \rho_l^{k+1} \frac{\varepsilon^{k+1}(x_l) - \varepsilon^k(X_l^k)}{\tau}. \quad (33)$$

Значения  $u^k(X_l^k)$  и  $\varepsilon^k(X_l^k)$  вычисляются путем линейной интерполяции, аналогично  $\sigma^k(X_l^k)$ .

**Системы алгебраических уравнений.** После аппроксимации производной по времени в дискретных аналогах (24)–(26) получаем системы квазилинейных алгебраических уравнений. С учетом обозначений

$\sigma^{k+1}(x_l) = \sigma_l^{k+1}$ ,  $u^{k+1}(x_l) = u_l^{k+1}$  и  $\varepsilon^{k+1}(x_l) = \varepsilon_l^{k+1}$  выпишем каждую систему.

Для уравнения переноса массы система алгебраических уравнений относительно неизвестных  $\sigma^{k+1}$  имеет вид

$$\left( \frac{h}{\tau} + \frac{1}{4} (u_{l+1}^k - u_{l-1}^k) \right) \sigma_l^{k+1} = \frac{h}{\tau} \sigma^k(X_l^k), \quad (34)$$

$$l = 1, \dots, n-1.$$

Для уравнения количества движения система алгебраических уравнений относительно неизвестных в узлах разбиения  $u^{k+1}$  имеет вид

$$\begin{aligned} & \left[ -\frac{2}{3h^2} \frac{1}{\text{Re}} (\mu_{l-1}^k + \mu_l^k) \right] u_{l-1}^{k+1} + \\ & + \left[ \frac{\rho_l^{k+1}}{\tau} + \frac{2}{3h^2} \frac{1}{\text{Re}} (\mu_{l-1}^k + 2\mu_l^k + \mu_{l+1}^k) \right] u_l^{k+1} + \\ & + \left[ -\frac{2}{3h^2} \frac{1}{\text{Re}} (\mu_l^k + \mu_{l+1}^k) \right] u_{l+1}^{k+1} = \end{aligned} \quad (35)$$

$$= \frac{\rho_l^{k+1}}{\tau} u^k(X_l^k) + \frac{1}{2h} (P_{l-1}^k - P_{l+1}^k), \quad l = 1, \dots, n-1.$$

Система квазилинейных алгебраических уравнений, соответствующая уравнению внутренней энергии, выглядит следующим образом:

$$\begin{aligned} & \left[ \frac{1}{2h^2} \frac{\gamma}{\text{PrRe}} \frac{\mu_l^k}{\varepsilon_l^k} (\varepsilon_l^k - \varepsilon_{l-1}^k) - \frac{1}{2h^2} \frac{\gamma}{\text{PrRe}} (\mu_{l-1}^k + \mu_l^k) \right] \varepsilon_{l-1}^{k+1} + \\ & + \left[ \frac{\rho_l^{k+1}}{\tau} - \frac{1}{2h^2} \frac{\gamma}{\text{PrRe}} \frac{\mu_l^k}{\varepsilon_l^k} (2\varepsilon_l^k - \varepsilon_{l+1}^k - \varepsilon_{l-1}^k) + \right. \\ & \left. + \frac{1}{2h^2} \frac{\gamma}{\text{PrRe}} (2\mu_l^k + \mu_{l+1}^k + \mu_{l-1}^k) \right] \varepsilon_l^{k+1} + \quad (36) \\ & + \left[ -\frac{1}{2h^2} \frac{\gamma}{\text{PrRe}} \frac{\mu_l^k}{\varepsilon_l^k} (\varepsilon_{l+1}^k - \varepsilon_l^k) - \frac{1}{2h^2} \frac{\gamma}{\text{PrRe}} (\mu_l^k + \mu_{l+1}^k) \right] \varepsilon_{l+1}^{k+1} = \\ & = \frac{\rho_l^{k+1}}{\tau} \varepsilon^k(X_l^k) - \frac{1}{4h} \frac{P_l^k}{\varepsilon_l^k} (u_{l+1}^{k+1} - u_{l-1}^{k+1}) + \\ & + \frac{1}{3h^2} \frac{1}{\text{Re}} \frac{\mu_l^k}{\varepsilon_l^k} [(u_{l+1}^{k+1} - u_l^{k+1})^2 + (u_l^{k+1} - u_{l-1}^{k+1})^2], \\ & l = 1, \dots, n-1. \end{aligned}$$

Таким образом, получена консервативная вариационно-разностная схема первого порядка аппроксимации.

Для решения систем линейных алгебраических уравнений с трехдиагональной матрицей используется метод немонотонной прогонки, который отличается высокой вычислительной устойчивостью [3].

**Тестовые расчеты.** Для тестирования полученной математической модели функции  $u$ ,  $\sigma$ ,  $\varepsilon$  задаются следующим явным образом:

$$u(x, t) = x(x-1)^2 t,$$

$$\begin{aligned} \sigma(x, t) &= x(x-1)^2 t + 1, \\ \varepsilon(x, t) &= x(x-1)^2 t + 1. \end{aligned} \quad (37)$$

При подстановке функций (37) в исходные уравнения и модифицированные уравнения получаются соответственно правые части  $f_\rho$ ,  $f_\sigma$ ,  $f_u$ ,  $f_e$  и  $f_\varepsilon$ , которые учитываются в системах уравнений при их численном решении. Нормы погрешности в пространстве  $L_2$  и  $L_\infty$  определяются следующим образом:

$$\begin{aligned} \|\delta a\|_{2,h} &= \left( \int (\delta a)^2 dx \right)^{\frac{1}{2}}, \\ \delta a &= |a_i^* - a_i^h|, \\ \int (\delta a)^2 dx &= \frac{h}{2} \left( |a_0^* - a_0^h|^2 + |a_n^* - a_n^h|^2 \right) + h \sum_{i=1}^{n-1} |a_i^* - a_i^h|^2, \\ \|\delta a\|_{\infty,h} &= \max_i |a_i^* - a_i^h|. \end{aligned}$$

Для  $\|\delta\sigma\|_{\infty,h}$  и  $\|\delta\rho\|_{\infty,h}$  можно получить соотношение

$$\|\delta\rho\|_{\infty,h} = \|\delta\sigma\|_{\infty,h} \max_i |\sigma_i^* + \sigma_i^h|.$$

Норму  $\|\delta\rho\|_{2,h}$  можно выразить через  $\|\delta\sigma_i\|_{\infty,h}$  следующим образом:

$$\begin{aligned} \|\delta\rho\|_{2,h} &= \left( \frac{h}{2} \left( \|\delta\rho\|_{\infty,h}^2 + \|\delta\rho_n\|_{\infty,h}^2 \right) + h \sum_{i=1}^{n-1} \|\delta\rho_i\|_{\infty,h}^2 \right)^{\frac{1}{2}}, \\ \|\delta\rho\|_{2,h} &= \left( \frac{h}{2} \left[ \left( \|\delta\sigma_0\|_{\infty,h} |\sigma_0^* + \sigma_0^h| \right)^2 + \left( \|\delta\sigma_n\|_{\infty,h} |\sigma_n^* + \sigma_n^h| \right)^2 \right] + \right. \end{aligned}$$

$$\left. + h \sum_{i=1}^{n-1} \left( \|\delta\sigma_i\|_{\infty,h} |\sigma_i^* + \sigma_i^h| \right)^2 \right)^{\frac{1}{2}}.$$

Нормы погрешностей в табл. 1 и 2 приведены для шага по времени  $\tau = 0,0001$  в момент времени  $t = k\tau$  ( $k = 1000$ ).

**Задача о распространении теплового импульса.** При решении модельной задачи тепловой импульс задается в окрестности центра расчетной области, газодинамическая постоянная  $\gamma$ , число Рейнольдса  $Re$ , число Прандтля  $Pr$ , число Маха  $M_\infty$  и  $\omega$  имеют следующие значения:  $\gamma = 1,4$ ,  $Re = 2 \cdot 10^3$ ,  $Pr = 0,7$ ,  $M_\infty = 4$ ,  $\omega = 0,8$  [4–6]. Температура  $T$  определяется из следующего уравнения состояния:

$$T = \frac{\gamma M_\infty^2 P}{\rho}. \quad (38)$$

В качестве начальных условий задаются условия затухания возмущений в бесконечном удалении от источника. Условия на границе для плотности, скорости и энергии следующие:  $\rho|_{x=0} = \rho|_{x=1} = 1$ ,  $u|_{x=0} = u|_{x=1} = 0$ ,  $e|_{x=0} = e|_{x=1} = 1$ ).

Графики распределения плотности, температуры, скорости и давления газа при  $h = 0,002$  ( $n = 500$ ),  $\tau = 0,0001$  представлены на рис. 1–4. Кривые, обозначенные на рисунках как 1, 2, 3, 4, соответствуют расчетным моментам безразмерного времени  $t = 0,01; 0,05; 0,1; 0,2$ .

Таблица 1

$h$	0,05	0,04	0,025	0,02	0,0125	0,01
$\ \delta\sigma\ _{2,h}$	0,000 044 1	0,000 031 9	0,000 016 1	0,000 011 7	0,000 006 1	0,000 004 6
$\ \delta\rho\ _{2,h}$	0,000 088 2	0,000 063 7	0,000 032 1	0,000 023 3	0,000 012 2	0,000 009 2
$\ \delta\varepsilon\ _{2,h}$	0,000 033 8	0,000 027 8	0,000 019 6	0,000 017 2	0,000 014 2	0,000 013 3
$\ \delta e\ _{2,h}$	0,000 067 2	0,000 055 1	0,000 038 8	0,000 034 1	0,000 028 0	0,000 026 4
$\ \delta u\ _{2,h}$	0,000 145 0	0,000 106 5	0,000 057 5	0,000 044 1	0,000 027 5	0,000 023 0

Таблица 2

$h$	0,05	0,04	0,025	0,02	0,0125	0,01
$\ \delta\sigma\ _{\infty,h}$	0,000 248 2	0,000 200 6	0,000 128 2	0,000 103 8	0,000 067 0	0,000 054 6
$\ \delta\rho\ _{\infty,h}$	0,000 495 9	0,000 400 7	0,000 256 0	0,000 207 3	0,000 133 8	0,000 109 1
$\ \delta\varepsilon\ _{\infty,h}$	0,000 211 9	0,000 192 9	0,000 164 1	0,000 154 4	0,000 139 7	0,000 134 8
$\ \delta e\ _{\infty,h}$	0,000 420 6	0,000 382 6	0,000 324 9	0,000 305 4	0,000 276 0	0,000 266 2
$\ \delta u\ _{\infty,h}$	0,000 839 1	0,000 692 0	0,000 469 2	0,000 394 5	0,000 281 9	0,000 244 2

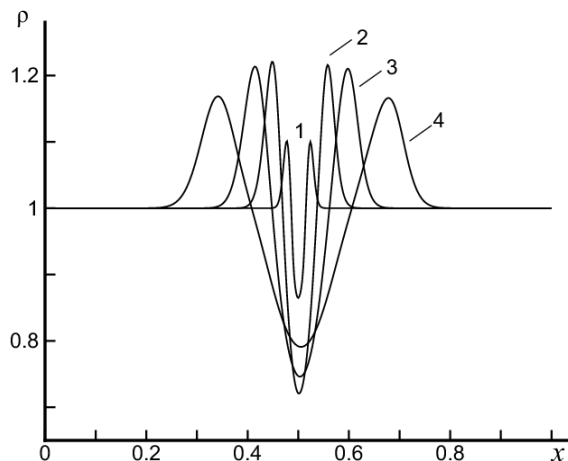


Рис. 1

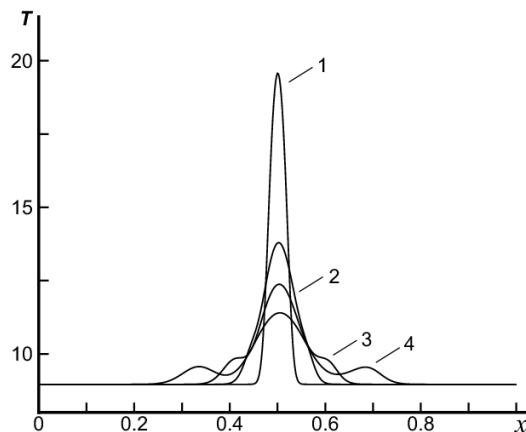


Рис. 2

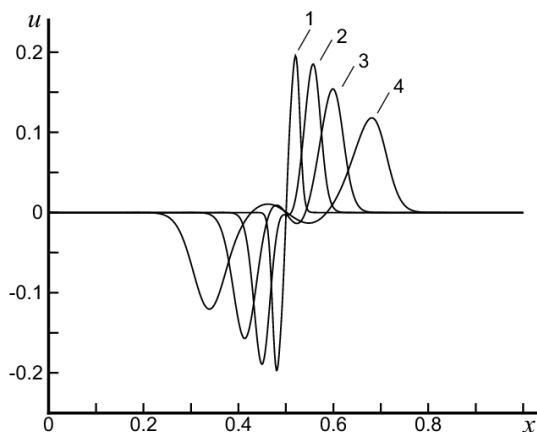


Рис. 3

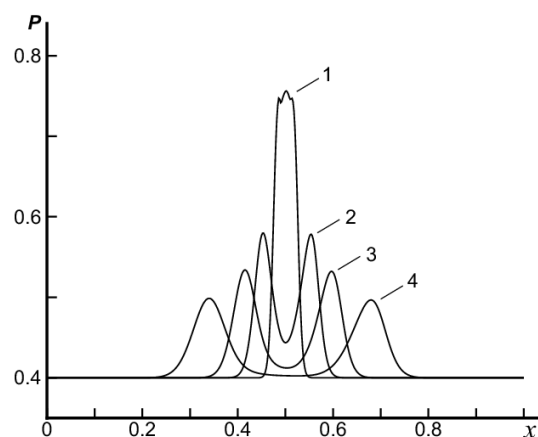


Рис. 4

В заключение следует отметить, что полученные системы уравнений удовлетворяют законам сохранения массы и полной энергии на дискретном уровне, обеспечивая устойчивость дискретного решения по времени. Замена искомого функций в уравнениях неразрывности и внутренней энергии обеспечивает повышение точности приближенного решения и приводит к меньшей абсолютной погрешности в норме  $L_2$  и  $L_\infty$ . Применение комбинации метода траекторий и метода конечных элементов не требует согласования триангуляций на соседних временных слоях, что значительно облегчает динамическое разрежение или сгущение триангуляций по времени для оптимизации вычислительной работы или улучшения аппроксимации в пограничных слоях и ударных волнах. Для решения систем алгебраических уравнений используется многосеточный метод с внешними итерациями по нелинейности. Совокупность методов позволяет построить экономичный алгоритм с вычислительной точки зрения.

#### Библиографические ссылки

1. Ушакова О. А., Шайдуров В. В., Щепановская Г. И. Метод конечных элементов для уравнений На-

вье–Стокса в сферической системе координат // Вестник КрасГУ. 2006. № 4. С. 151–156.

2. Pironneau O. On the Transport-Diffusion Algorithm and Its Applications to the Navier-Stokes Equations // Numerische Mathematik. 1982. № 38. P. 309–332.

3. Самарский А. А., Николаев Е. С. Методы решения сеточных уравнений. М.: Наука, 1978.

4. Шайдуров В. В., Щепановская Г. И., Якубович М. В. Одномерная модель динамики вязкого теплопроводного газа // Материалы XIV Междунар. науч. конф. «Решетневские чтения». Красноярск, 2010. С. 440–441.

5. Шайдуров В. В., Щепановская Г. И. Газодинамическая модель внутреннего строения Земли // Вестник СибГАУ. 2008. № 1. 79–83.

6. Vyatkin A. V., Shaidurov V. V., Shchepanovskaya G. I. Numerical Spherically-Symmetric Simulation of Deep-Seated Geodynamics // J. of Applied and Industrial Mathematics. 2010. Vol. 4. № 2. P. 290–297.

7. Шайдуров В. В., Щепановская Г. И., Якубович М. В. Применение метода траекторий и метода конечных элементов в моделировании движения вязкого теплопроводного газа // Вычислит. методы и программирование. 2011. Т. 12. С. 275–281.

G. I. Shchepanovskaya

**MATHEMATICAL AND NUMERICAL MODELLING OF CURRENTS  
OF VISCOUS THERMALLY CONDUCTIVE GAS**

*In the work the author offers an algorithm of the numerical decision of the modified equations of Nave-Stoksa for one-dimensional movement of viscous thermally conductive gas. Test calculations are carried out. The task of distribution of a thermal impulse in gas is realized. The approved computer model is used for studying of one-dimensional geodynamic processes.*

*Keywords: equations of Nave-Stoksa, viscous thermally conductive gas, numerical modeling, a method of trajectories, a method of final elements.*

© Щепановская Г. И., 2011